

UNIVERSIDAD DE COSTA RICA

MODELOS LINEALES

Pronóstico demográfico de Costa Rica

Autores

David Zumbado
Leonardo Blanco
Ignacio Barrantes

1 de noviembre de 2022

Indice de contenidos

| | |
|-------------------------------------------------------------------------|-----------|
| | 5 |
| 1 Bitácora 1 | 6 |
| 1.1 Parte 1 | 6 |
| 1.1.1 Características generales de la tabla | 6 |
| 1.1.2 Variables de estudio | 6 |
| 1.1.3 Clasificación de las variables | 7 |
| 1.2 Parte 2 | 7 |
| 1.2.1 Pregunta central de investigación | 7 |
| 1.2.2 Objeto de la investigación | 8 |
| 1.2.3 Conceptos delimitadores de la pregunta de investigación | 8 |
| 1.2.4 Principios | 8 |
| 2 Bitacora 2 | 9 |
| 2.1 Punto 1 | 9 |
| 2.2 Parte 2 | 12 |
| 2.2.1 Resumen de cinco números | 12 |
| 2.2.2 Medidas de dispersión | 12 |
| 2.2.3 Tablas de frecuencia | 13 |
| 2.3 Parte 3: Propuesta de UVE | 15 |
| 3 Bitacora 3 | 16 |
| 3.1 Distribución de la variable cuantitativa | 16 |
| 3.2 Asociación de variables | 17 |

| | | |
|-------------------|-------------------------------------------------|-----------|
| 3.3 | Descripción del modelo o metodología | 29 |
| 3.4 | Propuesta y justificación modelos DLM | 31 |
| 3.5 | Primera implementación | 31 |
| References | | 40 |

Listado de Figuras

| | |
|------------------------------------------------------------------------------------------------------------------------------------------|----|
| 2.1 Borrador de la UVE Heurística | 15 |
| 3.1 Histograma de las defunciones totales entre 1950 y 2020 | 16 |
| 3.2 Cantidad de defunciones por año para el periodo 1950-2020 | 17 |
| 3.3 Tasa de mortalidad por año para el periodo 1950-2020 | 18 |
| 3.4 Población total por año para el periodo 1950-2020 | 19 |
| 3.5 Cantidad de nacimientos por año para el periodo 1950-2020 | 20 |
| 3.6 Defunciones infantiles, neonatales y fetales por año | 21 |
| 3.7 Distribución variable indicadora de la mayor tasa entre las de mortalidad fetal y la neonatal | 22 |
| 3.8 Tasas de crecimiento, mortalidad y natalidad por año | 23 |
| 3.9 Histograma de la coincidencia en la monotonía de la tasa de mortalidad y la de crecimiento | 24 |
| 3.10 Distribución de los años según la coincidencia en la monotonía de la tasa de mortalidad y la de crecimiento | 25 |
| 3.11 Histograma de la coincidencia en la monotonía de la población total y las defunciones totales | 26 |
| 3.12 Distribución de los años según la coincidencia en la monotonía de la población total y la cantidad de defunciones | 27 |
| 3.13 Histograma de la coincidencia en la monotonía de las defunciones infantiles y las defunciones totales | 28 |
| 3.14 Distribución de los años según la coincidencia en la monotonía de las defunciones infantiles y la cantidad de defunciones | 29 |
| 3.15 Serie de tiempo de defunciones totales | 32 |
| 3.16 ACF y PACF de la serie de defunciones totales | 33 |
| 3.17 Serie de tiempo de defunciones totales con una diferencia | 34 |
| 3.18 ACF y PACF de la serie de defunciones totales con una diferencia | 35 |
| 3.19 Serie de tiempo de defunciones totales con dos diferencias | 36 |
| 3.20 ACF y PACF de la serie de defunciones totales con dos diferencias | 37 |
| 3.21 Diagnósticos del modelo ARIMA implementado | 38 |
| 3.22 Pronóstico a dos años utilizando el modelo ARIMA | 39 |

Listado de Tablas

| | | |
|-----|----------------------------------------------------------------------------------|----|
| 2.1 | Primeras cinco filas y nueve columnas de la tabla de datos | 10 |
| 2.2 | Primeras cinco filas y segundas nueve columnas de la tabla de datos | 11 |
| 2.3 | Resumen de cinco números para algunas variables de la tabla de datos | 12 |
| 2.4 | Estadísticos de dispersión para algunas variables de la tabla de datos | 12 |
| 2.5 | Frecuencia de defunciones, población y tasa de mortalidad | 13 |
| 2.6 | Frecuencia de nacimientos y tasa de natalidad | 14 |
| 3.1 | Pronóstico e intervalos de confianza del modelo ARIMA | 39 |

Capítulo 1

Bitácora 1

En el proyecto se buscará realizar análisis demográfico, específicamente se centrará en el pronóstico de la cantidad de defunciones en Costa Rica.

1.1 Parte 1

1.1.1 Características generales de la tabla

La tabla de datos proviene del Instituto Nacional de Estadística y Censos (INEC) de Costa Rica y es de acceso público, descargable desde la página web del instituto, como puede consultarse en INEC (2021). Esta base presenta los principales indicadores demográficos anuales de Costa Rica durante el periodo 1950-2020. Incluye en total 18 variables, entre las cuales están el año, la población total al 30 de junio de cada año, desagregado también por sexo, así como la cantidad de defunciones.

1.1.2 Variables de estudio

Población de estudio: La población de estudio son aquellas personas que vivían en Costa Rica entre los años 1950-2020 y mueren en este periodo.

Muestra observada: La muestra observada, son todas aquellas personas que vivían en Costa Rica y al morir son registrados por el Instituto Nacional de Estadística y Censo.

Unidad estadística o individuos: La unidad estadística es el recuento anual de defunciones en Costa Rica.

Variables de estudio: Son un total de 18 variables, las cuales según «Indicadores demográficos 2019» (2020) se tiene:

Año: Esta variable indica el año.

Total: Esta variable registra la población total.

Hombres: Esta variable registra la población total de hombres.

Mujeres: Esta variable se encarga de registrar el total de mujeres.

Nacimientos: Esta variable registra el total de nacimientos.

Defunciones: Esta variable registra el total de defunciones.

Defunciones infantiles: Esta variable registra las defunciones de infantes (niños y niñas).

Defunciones neonatales: Esta variable registra las defunciones de recién nacidos, hace referencia a la mortalidad de los nacidos antes de alcanzar los 28 días de edad.

Defunciones fetales: Esta variable registra las defunciones de fetos, se refiere a la mortalidad de un bebé antes o durante el parto.

Tasa de crecimiento: Esta variable registra la tasa de crecimiento de la población costarricense. Se refiere al crecimiento de la población entre dos fechas sin contemplar la migración.

Tasa de natalidad: Esta variable registra la tasa de nacimientos registrados en la población costarricenses.

Tasa de mortalidad: Esta variable registra la tasa de muertes en su totalidad.

Tasa de mortalidad infantil: Esta variable registra la tasa de muertes infantiles.

Tasa de mortalidad neonatal: Esta variable registra la tasa de muertes neonatales.

Tasa de mortalidad fetal: En esta variable se registra la tasa de muertes fetales.

Tasa global de fecundidad: Esta variable registra la tasa de fecundidad global (TGF), la cual indica cantidad de hijos e hijas que en promedio tendría cada mujer al final del periodo fértil, si durante su vida tiene sus hijos e hijas de acuerdo a las tasas de fecundidad por edad observadas en el país y año de interés y, además estas mujeres no están afectadas por la mortalidad desde el nacimiento hasta el final de periodo fértil.

Tasa bruta de reproducción: Esta variable hace referencia a el cantidad de hijas que en promedio tendría cada mujer al final del periodo fértil, si durante su vida tiene sus hijos e hijas de acuerdo a las tasas de fecundidad por edad observadas en el país y año de interés y, además estas mujeres no están afectadas por la mortalidad desde el nacimiento hasta el final de periodo fértil.

Tasa neta de reproducción: es el número de hijas que en promedio tendría cada mujer al final del periodo fértil, si durante su vida tiene sus hijos e hijas de acuerdo a las tasas de fecundidad por edad observadas en el país y año de interés y, además estas mujeres sí están afectadas por la mortalidad por edad observada en el país y año de interés desde el nacimiento hasta el final de periodo fértil.

1.1.3 Clasificación de las variables

Todas las variables de la tabla utilizada son numéricas donde cinco identifican cantidades absolutas registradas con respecto a la cantidad de nacimientos, defunciones, etc, y nueve variables son tasas de variabilidad con respecto al año anterior, o como un porcentaje de la población.

1.2 Parte 2

1.2.1 Pregunta central de investigación

La pregunta formulada es: ¿Cómo se puede realizar un pronóstico de la serie de defunciones totales anuales de Costa Rica?

1.2.2 Objeto de la investigación

La cantidad de defunciones totales anuales ocurridas en Costa Rica y registradas por el Instituto Nacional de Estadística y Censos del año 1950 hasta el año 2020.

1.2.3 Conceptos delimitadores de la pregunta de investigación

- Defunciones totales anuales: Según Macció, Centro Latinoamericano de Demografía, et al. (1985), la mortalidad o defunción se emplea para expresar la acción de la muerte sobre la población. Esta se mide en valores absolutos y sobre el año calendario.
- Pronóstico: Según Brownlee (2020) la realización de predicciones sobre el futuro se denomina extrapolación en el tratamiento estadístico clásico de los datos de las series temporales. Los campos más modernos que se centran en el tema, lo denominan pronóstico de series temporales. El pronóstico consiste en tomar modelos ajustados a datos históricos y utilizarlos para predecir observaciones futuras.
- Serie: De acuerdo a Macció, Centro Latinoamericano de Demografía, et al. (1985) una serie cronológica o crónica se le llama a “la que forman los valores sucesivos que una cierta variable ha tomado en el transcurso del tiempo”.

1.2.4 Principios

Rees (2020) afirma que una de las mayores contribuciones de la demografía ha sido el desarrollo de modelos para la proyección de futuras poblaciones, lo cuál está estrechamente relacionado con la proyección de defunciones. De acuerdo al autor, dos de los modelos más importantes y usados en Demografía cuando a proyección poblacional se refiere, están el de Cohorte-Componente (*The Cohort-Component Model for Projecting the Population*) y el de Proyecciones Probabilísticas (*Probabilistic Projections*).

El modelo de Cohorte-Componente utiliza datos de nacimientos, muertes y migración (a estos factores se les conoce como componentes de cambio) a nivel de cohortes. De acuerdo al Diccionario Demográfico Multilingüe, un cohorte es “conjunto de individuos que han vivido un cierto acontecimiento durante un mismo período” (1985); y en el marco del modelo puede referirse a grupos de edad. Usualmente, los cohortes están desagregados por sexo (Wilson y Rees 2021).

Por otro lado, el modelo de Proyecciones Probabilísticas, el cual también es establecido en Rees (2020) trata de estimar la población futura a través de las distribuciones de error de ciertos componentes como la tasa de fertilidad. Con estas se pueden proyectar año a año y bajo la combinación de cientos de estos componentes se puede construir escenarios posibles. Cada una de estas distribuciones se puede derivar utilizando datos históricos y a través del uso de modelos de series de tiempo auto-regresivas, o de censos o opiniones experta. Bajo este enfoque se construyen varios escenarios alrededor de una mediana y que se dispersan producto de las distribuciones de incertidumbre pero que al final logran construir un análogo del intervalo de confianza.

Capítulo 2

Bitacora 2

2.1 Punto 1

En la Tabla 2.1 y Tabla 2.2 se presentan las primeras cinco líneas de la tabla de datos para las columnas 1 a 9 y 10 a 18 respectivamente. En conformidad con Wickham y Grolemund (2016), una tabla en formato *tidy* cumple que:

- Cada variable posee su propia columna
- Cada observación posee su propia fila
- Cada valor posee su propia celda

Se puede apreciar en las dos tablas mencionadas que la tabla de datos cumple con el formato *tidy*, pues las variables están dispuestas a lo largo de las columnas y las observaciones a lo largo de las filas.

Tabla 2.1: Primeras cinco filas y nueve columnas de la tabla de datos

| Año | Población total | Población de hombres | Población de mujeres | Nacimientos | Defunciones | Defunciones infantiles | Defunciones neonatales | Defunciones fetales |
|-------|-----------------|----------------------|----------------------|-------------|-------------|------------------------|------------------------|---------------------|
| 1 950 | 868 934 | 438 185 | 430 749 | 37 248 | 9 769 | 3 358 | 974 | 1 103 |
| 1 951 | 897 630 | 452 702 | 444 928 | 39 239 | 9 631 | 3 467 | 953 | 1 062 |
| 1 952 | 929 173 | 468 613 | 460 560 | 42 461 | 9 902 | 3 811 | 1 083 | 1 012 |
| 1 953 | 962 485 | 485 464 | 477 021 | 42 817 | 10 312 | 4 017 | 1 161 | 1 021 |
| 1 954 | 997 535 | 503 219 | 494 316 | 48 157 | 9 713 | 3 856 | 1 210 | 1 135 |
| 1 955 | 1 035 424 | 522 378 | 513 046 | 48 903 | 9 998 | 4 065 | 1 233 | 1 095 |

Nota

El conteo de población se realiza al 30 de junio de cada año.

Tabla 2.2: Primeras cinco filas y segundas nueve columnas de la tabla de datos

| Tasa de crecimiento | Tasa de natalidad | Tasa de mortalidad | Tasa de mortalidad infantil | Tasa de mortalidad neonatal | Tasa de mortalidad fetal | Tasa global de fecundidad | Tasa bruta de reproducción | Tasa neta de reproducción |
|---------------------|-------------------|--------------------|-----------------------------|-----------------------------|--------------------------|---------------------------|----------------------------|---------------------------|
| 31.62381 | 42.86632 | 11.242511 | 90.15249 | 26.14906 | 29.61233 | - | - | - |
| 32.98464 | 43.71400 | 10.729365 | 88.35597 | 24.28706 | 27.06491 | - | - | - |
| 35.04084 | 45.69763 | 10.656788 | 89.75295 | 25.50576 | 23.83364 | - | - | - |
| 33.77195 | 44.48589 | 10.713933 | 93.81788 | 27.11540 | 23.84567 | - | - | - |
| 38.53900 | 48.27600 | 9.737002 | 80.07143 | 25.12615 | 23.56874 | - | - | - |
| 37.57398 | 47.22993 | 9.655948 | 83.12373 | 25.21318 | 22.39126 | 6.96 | - | - |

Nota

El conteo de población se realiza al 30 de junio de cada año.

Tabla 2.3: Resumen de cinco números para algunas variables de la tabla de datos

| | Población total | Población de hombres | Población de mujeres | Nacimientos | Defunciones | Defunciones infantiles | Defunciones neonatales | Defunciones fetales |
|----------------|-----------------|----------------------|----------------------|-------------|-------------|------------------------|------------------------|---------------------|
| Mínimo | 868 934 | 438 185 | 430 749.0 | 37 248 | 8 596.0 | 462.0 | 344.0 | 329 |
| Primer cuartil | 1 638 283 | 827 590 | 810 692.5 | 59 589 | 9 897.5 | 765.0 | 537.0 | 526 |
| Mediana | 2 646 142 | 1 339 573 | 1 306 569.0 | 70 004 | 11 376.0 | 1 345.0 | 807.0 | 691 |
| Tercer cuartil | 4 054 418 | 2 053 052 | 2 001 366.5 | 75 794 | 15 704.5 | 3 543.5 | 1 173.5 | 959 |
| Máximo | 5 111 238 | 2 575 550 | 2 535 688.0 | 84 337 | 26 209.0 | 4 889.0 | 1 688.0 | 1 261 |

Tabla 2.4: Estadísticos de dispersión para algunas variables de la tabla de datos

| | Población total | Población de hombres | Población de mujeres | Nacimientos | Defunciones | Defunciones infantiles | Defunciones neonatales | Defunciones fetales |
|-----------------------|-----------------|----------------------|----------------------|-------------|-------------|------------------------|------------------------|---------------------|
| Desviación estándar | 1 340 677 | 677 255.2 | 663 434.1 | 11 274.6 | 4 428.495 | 1 396.199 | 366.604 | 241.5763 |
| Rango intercuartílico | 2 416 136 | 1 225 461.5 | 1 190 674.0 | 16 205.0 | 5 807.000 | 2 778.500 | 636.500 | 433.0000 |

2.2 Parte 2

2.2.1 Resumen de cinco números

En la tabla Tabla 2.3 se detalla el resumen de cinco números para algunas variables relevantes de la tabla de datos.

2.2.2 Medidas de dispersión

En la tabla Tabla 2.4 se detallan los estadísticos de desviación estándar y rango intercuartílico para algunas variables relevante de la tabla de datos.

Se observa que la variable población de hombres presenta mayor dispersión respecto población de mujeres, esta mayor variabilidad en la población de hombres se puede deber a diversos factores, entre ellos : una diferencia en el número de defunciones, nacimientos, o número de migrantes en la población masculina en relación con la de población femenina.

Una observación importante, es que los nacimientos presentan una mayor dispersión respecto a el número de defunciones. Es decir, se observa que el número defunciones anuales presenta menor desviación respecto a la media (desviación estándar) y una menor diferencia entre tercer cuartil y primer cuartil de defunciones (IQR).

Análogamente, se observa que para los tipos de defunción: infantil, neonatales y fetales. Se evidencia una mayor dispersión para las defunciones infantiles, seguidas de las neonatales y por último, con menor dispersión las defunciones fetales.

Finalmente, se observa una diferencia significativa entre la medidas de dispersión desviación estándar y rango intercuartílico (IQR), esto se debe a la sensibilidad de la desviación estándar a valores extremos, es decir es posible que existan valores extremos (muy alto o muy bajos respecto a la media) y por esta razón ambas medidas difieran considerablemente, sin embargo para este caso en particular el orden en el grado de dispersión (observe que la dispersión disminuye al avanzar en la tabla de izquierda a derecha) se mantiene para ambos medidas.

Tabla 2.5: Frecuencia de defunciones, población y tasa de mortalidad

| Defunciones | Frec. de defunciones | Población total | Frec. de poblacion | Tasa de mortalidad | Frec. de tasa |
|---------------------|----------------------|---------------------|--------------------|--------------------|---------------|
| (8.58e+03,1.04e+04] | 23 | (8.65e+05,1.29e+06] | 11 | (3.72,4.41] | 39 |
| (1.04e+04,1.21e+04] | 18 | (1.29e+06,1.72e+06] | 9 | (4.41,5.1] | 8 |
| (1.21e+04,1.39e+04] | 4 | (1.72e+06,2.14e+06] | 8 | (5.1,5.78] | 1 |
| (1.39e+04,1.56e+04] | 8 | (2.14e+06,2.57e+06] | 6 | (5.78,6.46] | 3 |
| (1.56e+04,1.74e+04] | 5 | (2.57e+06,2.99e+06] | 6 | (6.46,7.14] | 3 |
| (1.74e+04,1.92e+04] | 4 | (2.99e+06,3.41e+06] | 5 | (7.14,7.83] | 3 |
| (1.92e+04,2.09e+04] | 3 | (3.41e+06,3.84e+06] | 5 | (7.83,8.51] | 6 |
| (2.09e+04,2.27e+04] | 2 | (3.84e+06,4.26e+06] | 6 | (8.51,9.19] | 1 |
| (2.27e+04,2.44e+04] | 3 | (4.26e+06,4.69e+06] | 7 | (9.19,9.88] | 3 |
| (2.44e+04,2.62e+04] | 1 | (4.69e+06,5.12e+06] | 8 | (10.6,11.3] | 4 |

2.2.3 Tablas de frecuencia

De la Tabla 2.5 se observa que históricamente las defunciones totales de la mayoría de los años cae dentro del primero y segundo intervalo, con una distribución más uniforme dentro de los intervalos más altos. Por su parte la tasa de mortalidad bruta, la cual se aprecia en las columnas cinco y seis, se muestra que en la mayoría de años la tasa se ha mantenido entre 3.72 y 4.41. Esto quiere decir que la cantidad de defunciones relativo a la población ha sido más o menos constante en la mayoría de años. Por su parte, la población total se ha distribuido más uniformemente en todos los intervalos por lo que se concluye que el crecimiento población se ha movido más rápido que las defunciones.

En la tabla Tabla 2.6 se observa que los nacimientos en nuestro país a lo largo de los años tiene una distribución más uniforme para los últimos intervalos de la tabla.

Por otro lado, para el caso de la tasa de nacimientos se observa un comportamiento menos uniforme a diferencia de los observado para la tasa de mortalidad. En este caso, se observa que la frecuencia oscila entre valores menores a 6 pero con ciertos repuntes altos de frecuencia para ciertos intervalos por lo que la tasa de nacimientos no se mantiene en cierto intervalo específico.

Tabla 2.6: Frecuencia de nacimientos y tasa de natalidad

| Nacimientos | Frec. de nacimientos | Tasa de nacimientos | Frec. de tasa |
|---------------------|-----------------------------|----------------------------|----------------------|
| (3.72e+04,4.2e+04] | 2 | (11.3,15.4] | 8 |
| (4.2e+04,4.67e+04] | 2 | (15.4,19.6] | 12 |
| (4.67e+04,5.14e+04] | 2 | (19.6,23.7] | 6 |
| (5.14e+04,5.61e+04] | 4 | (23.7,27.8] | 5 |
| (5.61e+04,6.08e+04] | 10 | (27.8,31.9] | 19 |
| (6.08e+04,6.55e+04] | 7 | (31.9,36.1] | 3 |
| (6.55e+04,7.02e+04] | 9 | (36.1,40.2] | 1 |
| (7.02e+04,7.49e+04] | 15 | (40.2,44.3] | 3 |
| (7.49e+04,7.96e+04] | 9 | (44.3,48.4] | 11 |
| (7.96e+04,8.44e+04] | 11 | (48.4,52.6] | 3 |

2.3 Parte 3: Propuesta de UVE

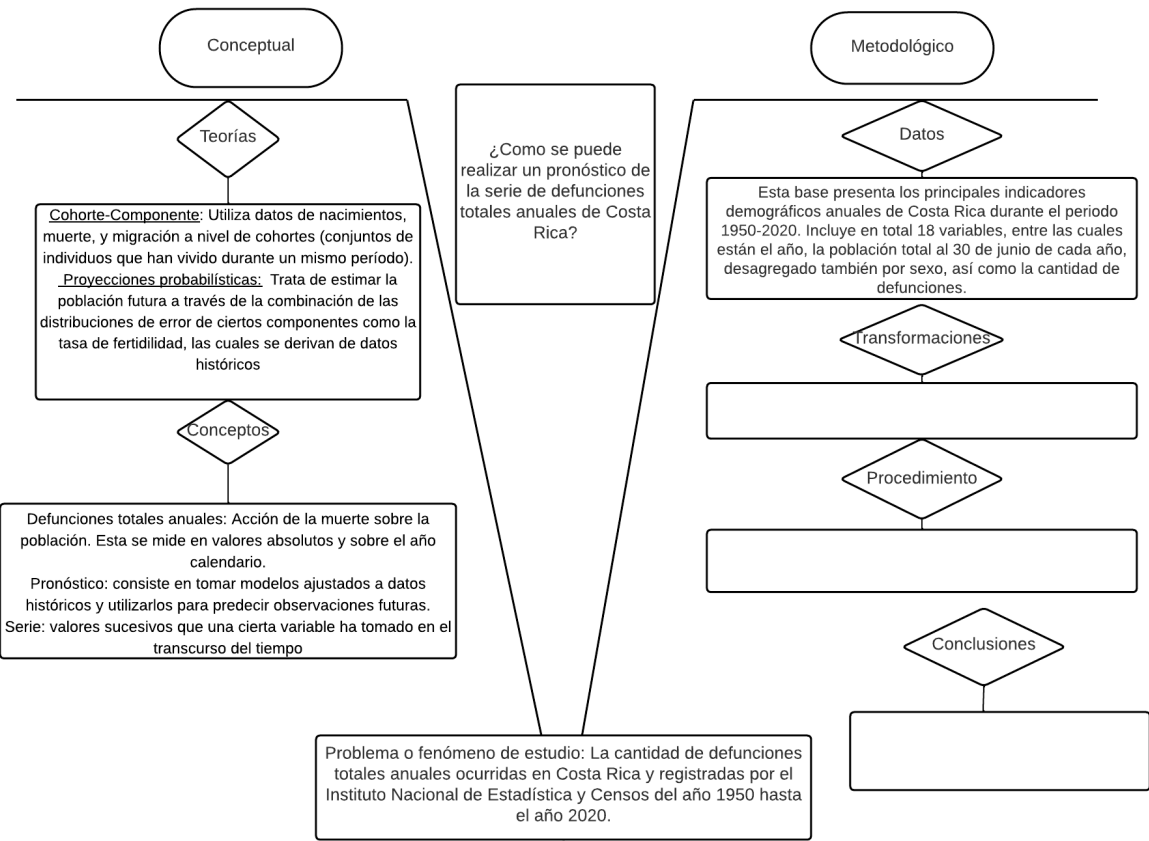


Figura 2.1: Borrador de la UVE Heurística

Capítulo 3

Bitacora 3

3.1 Distribución de la variable cuantitativa

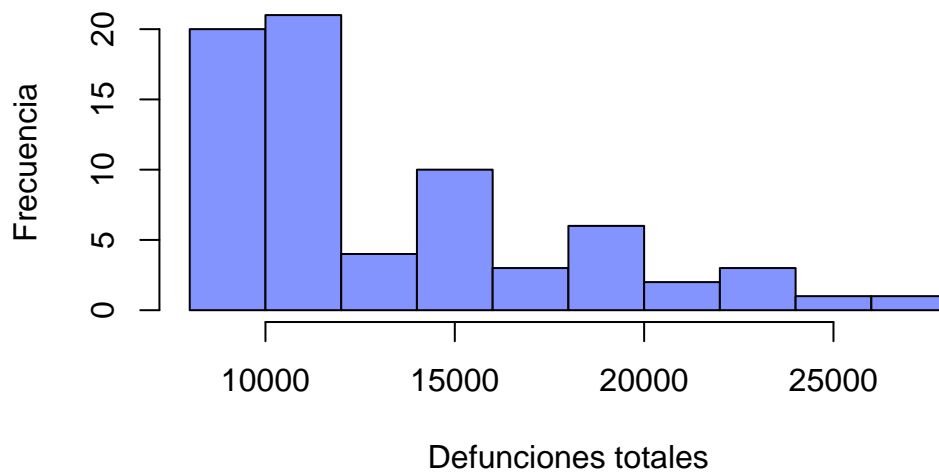
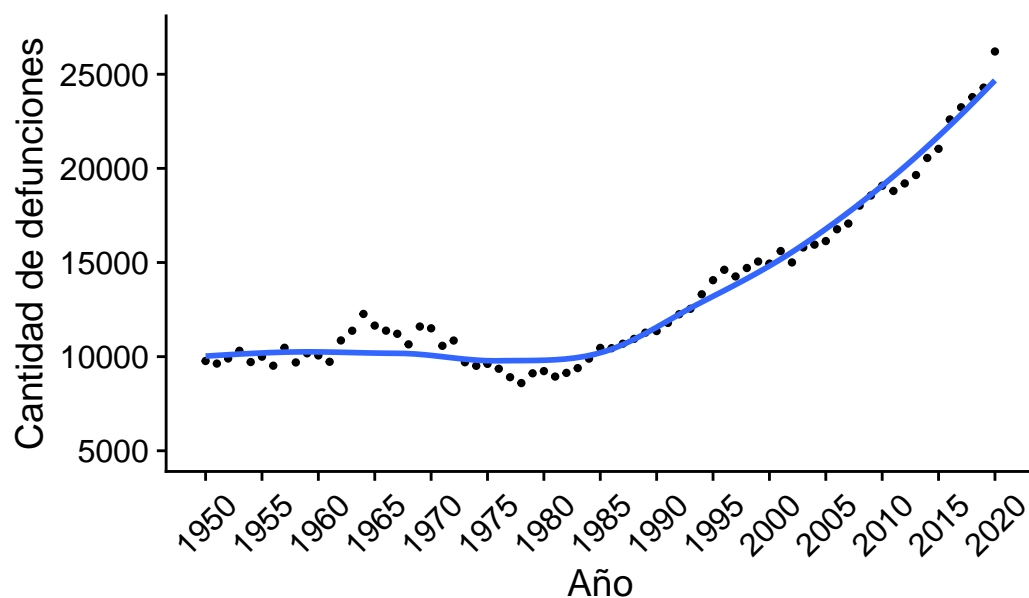


Figura 3.1: Histograma de las defunciones totales entre 1950 y 2020

La Figura 3.1 muestra la distribución de la variable cuantitativa de defunciones totales anuales, la cual es de principal interés en este trabajo. Se muestra poca simetría y una acumulación muy marcada en los cantidades más pequeñas, lo que quiere decir que la mayoría de años registrados presentaron defunciones totales de menos de 1500 al año.

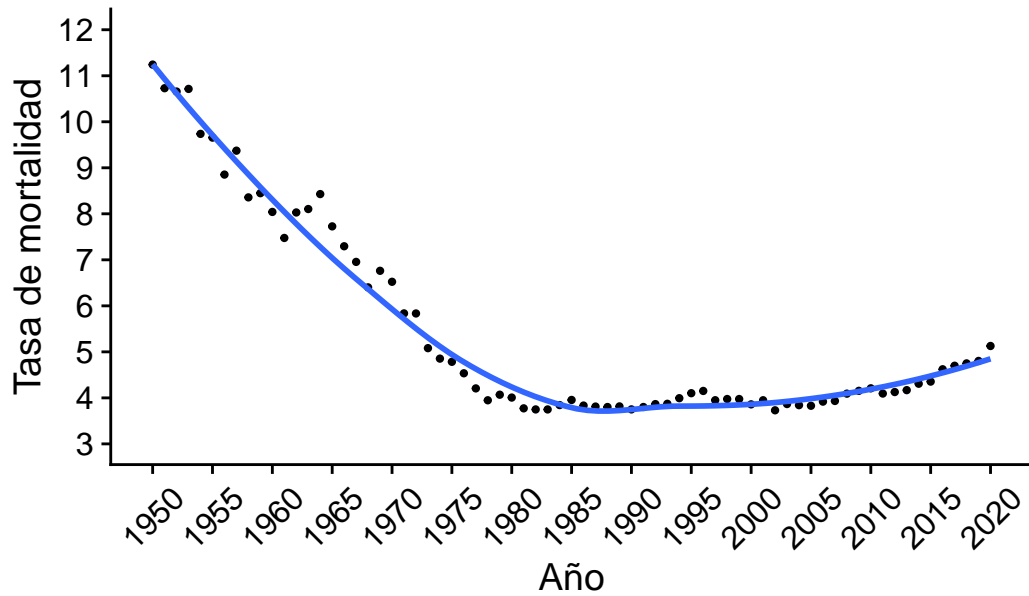
3.2 Asoaciación de variables

En la Figura 3.2 se muestra la cantidad total de defunciones para el periodo 1950-2020. Destaca una tendencia creciente muy marcada a partir de cerca de 1980 y hasta el final del periodo considerado.



Fuente: Elaboración propia

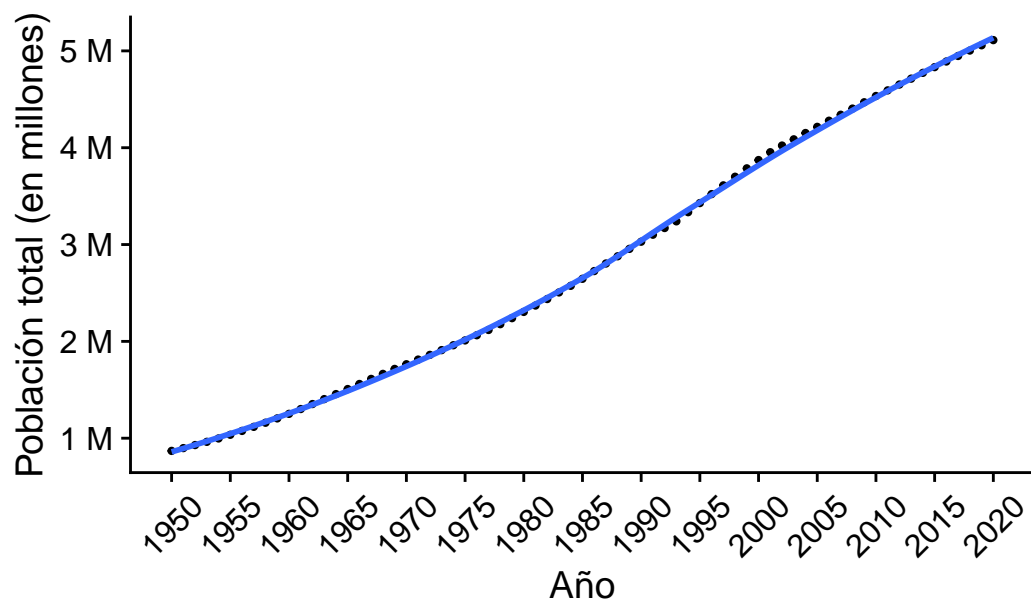
Figura 3.2: Cantidad de defunciones por año para el periodo 1950-2020



Fuente: Elaboración propia

Figura 3.3: Tasa de mortalidad por año para el periodo 1950-2020

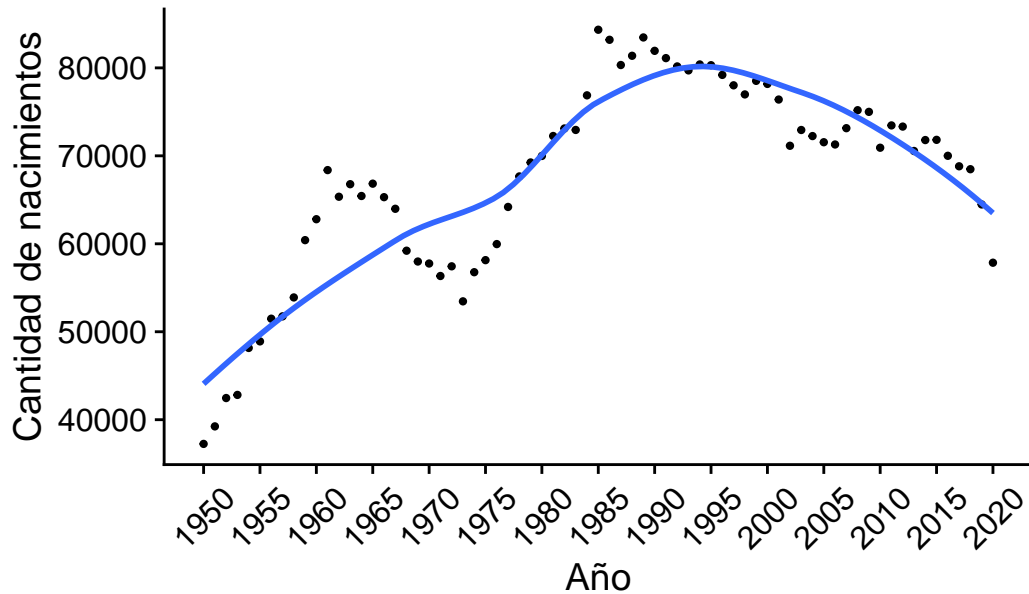
Este mismo comportamiento se puede observar en la tasa de mortalidad en la Figura 3.3 aunque de una forma mucho menos pronunciada, además, se puede apreciar que para el periodo 1950-1980 esta tasa decreció considerablemente.



Fuente: Elaboración propia

Figura 3.4: Población total por año para el periodo 1950-2020

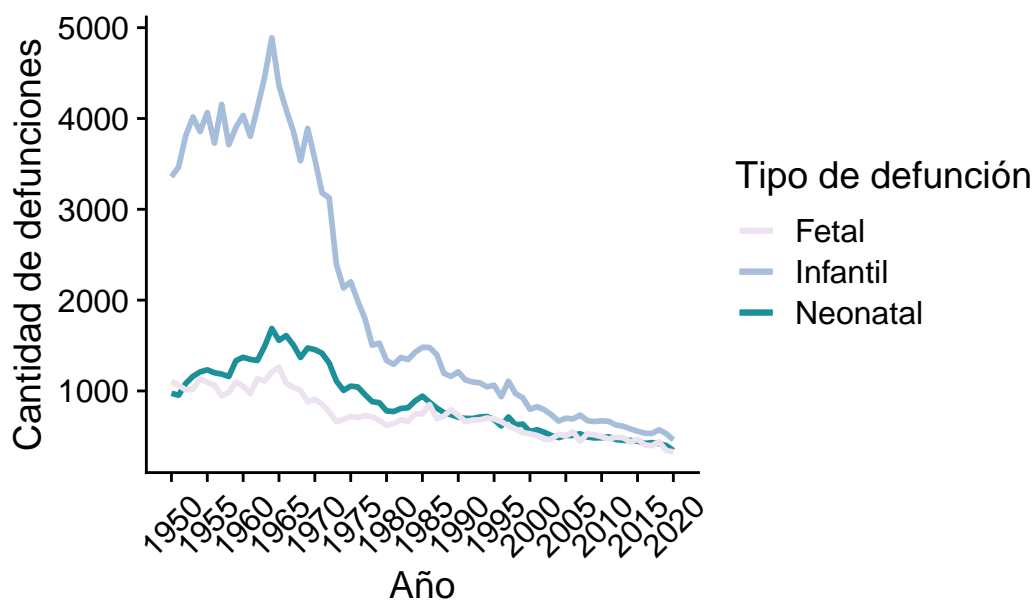
Por su parte, en la Figura 3.4 se identifica una clara tendencia creciente de la población durante todo el periodo considerado. Asimismo, de la Figura 3.5 se observa que la cantidad de nacimientos tuvo una tendencia creciente desde el inicio del periodo hasta cerca de 1990, en que empieza a descender hasta el último año considerado.



Fuente: Elaboración propia

Figura 3.5: Cantidad de nacimientos por año para el periodo 1950-2020

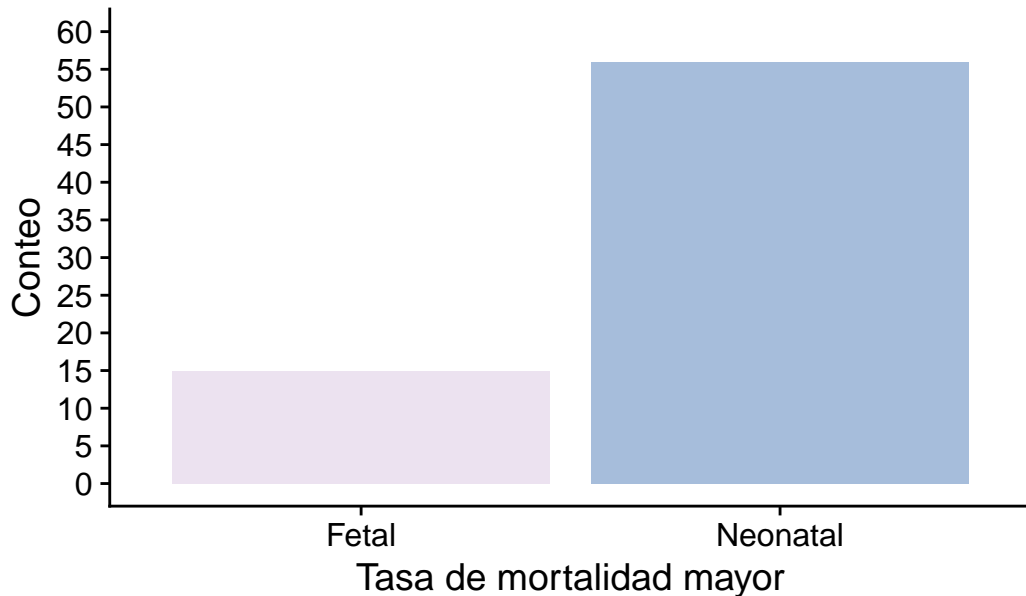
En la Figura 3.6 se comparan las defunciones infantiles, neonatales y fetales. Cabe añadir que la distancia vertical entre las defunciones infantiles y las neonatales resulta en las llamadas defunciones posneonatales, es decir, las que ocurren a partir de los 29 días de edad y hasta un año. Se advierte que a mediados de los años sesenta la cantidad de defunciones infantiles aparenta tener una tendencia decreciente. Al respecto, Rosero Bixby afirma que la caída más dramática en los años setenta “se logra gracias a los programas de atención primaria de la salud, ayudados por una extraordinaria reducción de la natalidad que permite un mejor desarrollo intrauterino, mejor cuidado del niño y reduce el riesgo de contagio” (2004). El mismo autor menciona que “el riesgo de morir de los menores de un año ha disminuido en forma poco menos que espectacular entre 1970-78, pues ha sido reducido a la tercera parte (de 62 a 22 muertes por cada mil nacimientos) en un lapso de apenas 8 años” (Rosero-Bixby 2016). Por su parte, la cantidad de defunciones neonatales superó a las fetales desde mediados de los años cincuenta y hasta mediados de los años ochenta, donde se pierde un poco la noción de cuál suele ser mayor.



Fuente: Elaboración propia con datos del INEC

Figura 3.6: Defunciones infantiles, neonatales y fetales por año

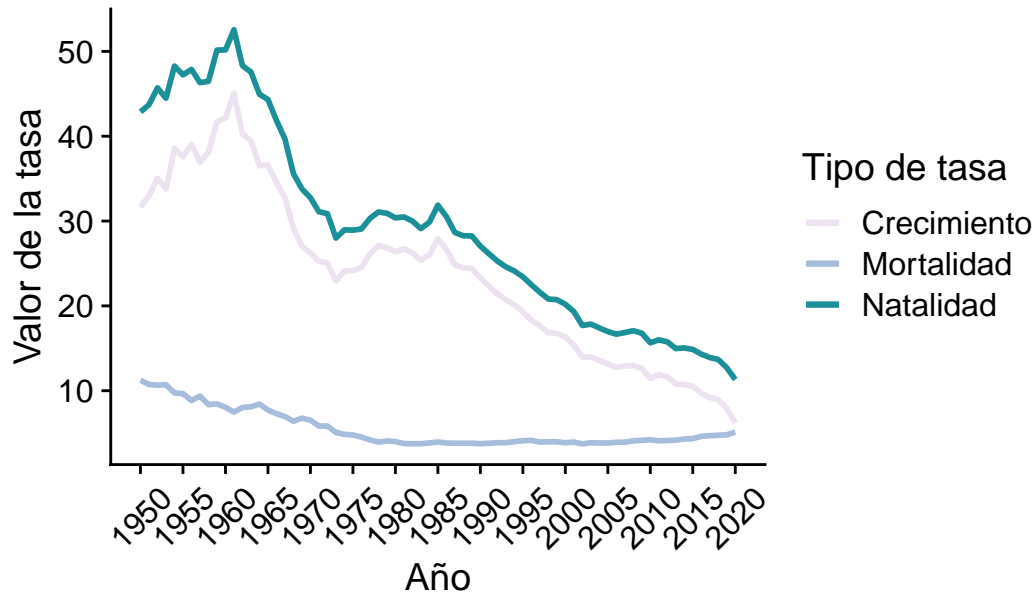
Para estudiar la asociación entre la tasa de defunciones neonatales y la de defunciones fetales, se crea una variable categórica indicadora de si la primera es mayor a la segunda. Dado que ambas tasas se calculan respecto al mismo denominador (la cantidad de nacimientos), esta variable equivale a hacer lo mismo con la cantidad de defunciones respectiva. En la Figura 3.7 se muestra la distribución de esta variable y se ve que en 15 de los 71 años considerados la tasa de mortalidad fetal fue mayor, donde de la Figura 3.6 se sabe que esto sucedió mayoritariamente entre 1985 y 2020. En consecuencia, en 56 años fue mayor la tasa de mortalidad neonatal, lo cual sucede sobre todo en los primeros 35 años a partir de 1950. Entonces, en los 71 años de estudio, 78.87% de las ocasiones fue mayor la tasa de mortalidad neonatal, contra un 21.13% de la fetal.



Fuente: Elaboración propia con datos del INEC

Figura 3.7: Distribución variable indicadora de la mayor tasa entre las de mortalidad fetal y la neonatal

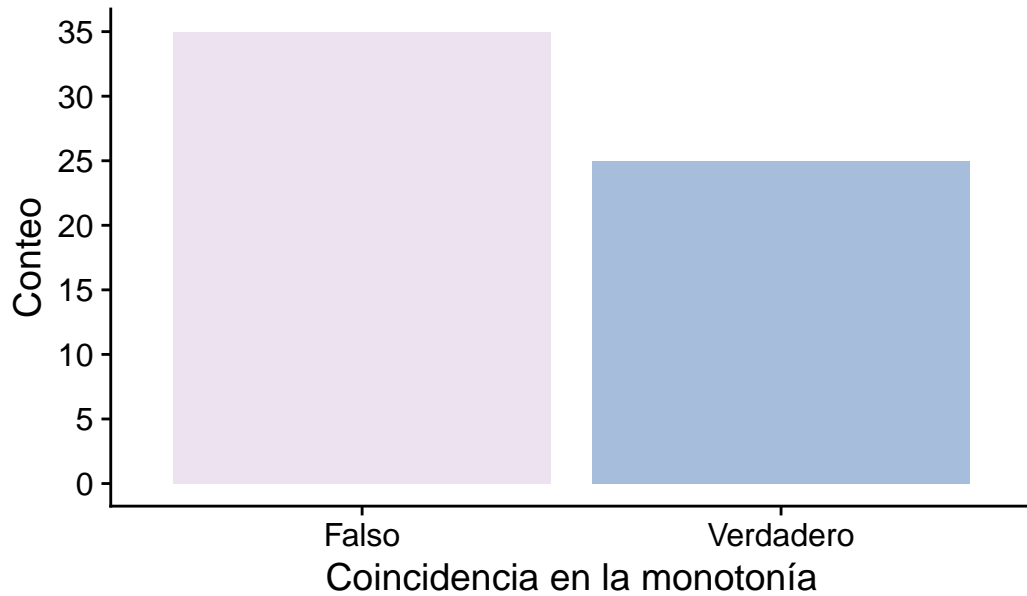
Debido a que, por razones de escala, la cantidad de defunciones, nacimientos y población total resultan difíciles de comparar gráficamente, una alternativa se muestra en la Figura 3.8, donde se muestran las tasas de crecimiento, mortalidad y natalidad por año. Se identifica la gran similitud en el comportamiento de las tasas de crecimiento y natalidad, lo cual no es ninguna sorpresa pues la segunda es una componente aditiva de la primera. Ahora bien, este gráfico permite apreciar que desde mediados del siglo XX y hasta cerca de 1980, tanto la tasa de crecimiento como la de mortalidad aparentan haber tenido una tendencia a la baja, lo cual se rompe cerca de dicho año y la tasa de mortalidad empieza a empinarse ligeramente, mientras que la de crecimiento continúa en su tendencia con su tendencia decreciente. Nuevamente, se ve que el año 1980 parece haber un cambio en el comportamiento demográfico del país.



Fuente: Elaboración propia con datos del INEC

Figura 3.8: Tasas de crecimiento, mortalidad y natalidad por año

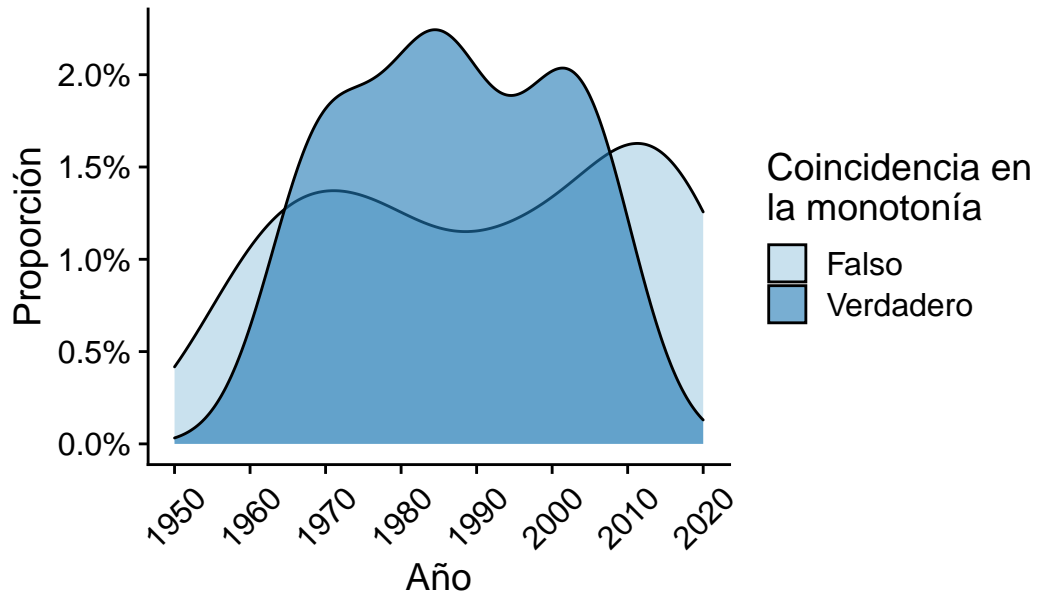
Para analizar la asociación de la tasa de mortalidad con la de crecimiento, se crea una variable categórica que indica si entre periodos consecutivos hubo coincidencia en la monotonía de ambas tasas, esto es, la variable es verdadera si ambas decrecieron o subieron, y es falsa si esto no se cumplió. En las figuras Figura 3.9 se muestra el histograma de esta variable, donde se ve que fue más común la no coincidencia en el comportamiento de las tasas entre periodos consecutivos.



Fuente: Elaboración propia con datos del INEC

Figura 3.9: Histograma de la coincidencia en la monotonía de la tasa de mortalidad y la de crecimiento

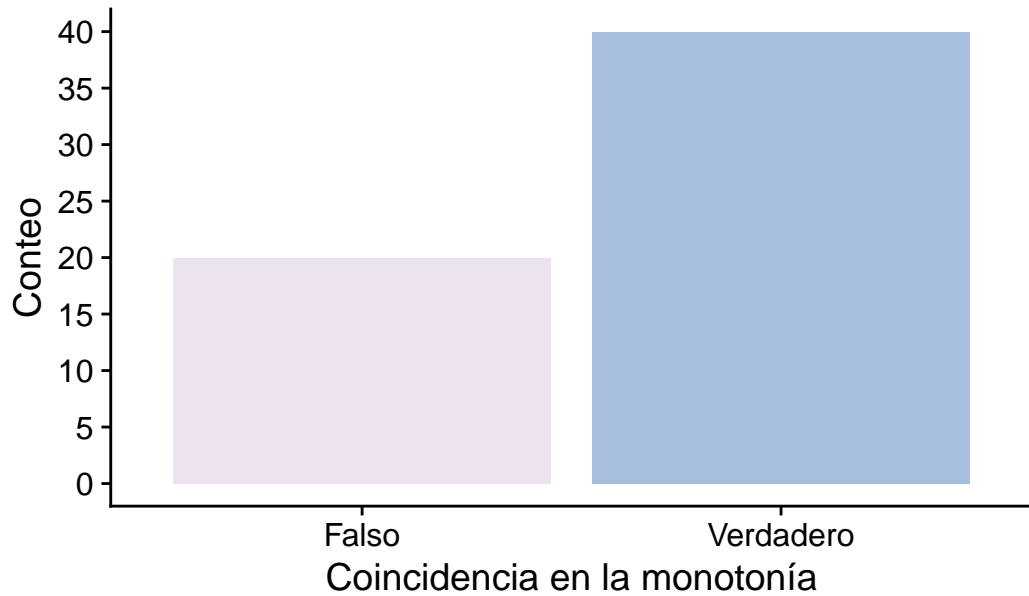
En la Figura 3.10 se muestra la distribución de los años según la coincidencia en la monotonía de la tasa de mortalidad y la de crecimiento y se ve que esta fue relativamente uniforme. Hacia 2016, se afirmaba que “la actual tasa de mortalidad general de Costa Rica (4 muertes anuales por cada mil habitantes) es una de las más bajas del mundo, inferior incluso a la de los superdesarrollados países de la Europa Noroccidental (11 por mil) [...] esta situación tan favorable se debe, en parte, a una estructura por edades muy particular de la población costarricense, caracterizada por una alta concentración en las edades donde la mortalidad es más baja (adultos jóvenes)” (Rosero-Bixby 2016).



Fuente: Elaboración propia con datos del INEC

Figura 3.10: Distribución de los años según la coincidencia en la monotonía de la tasa de mortalidad y la de crecimiento

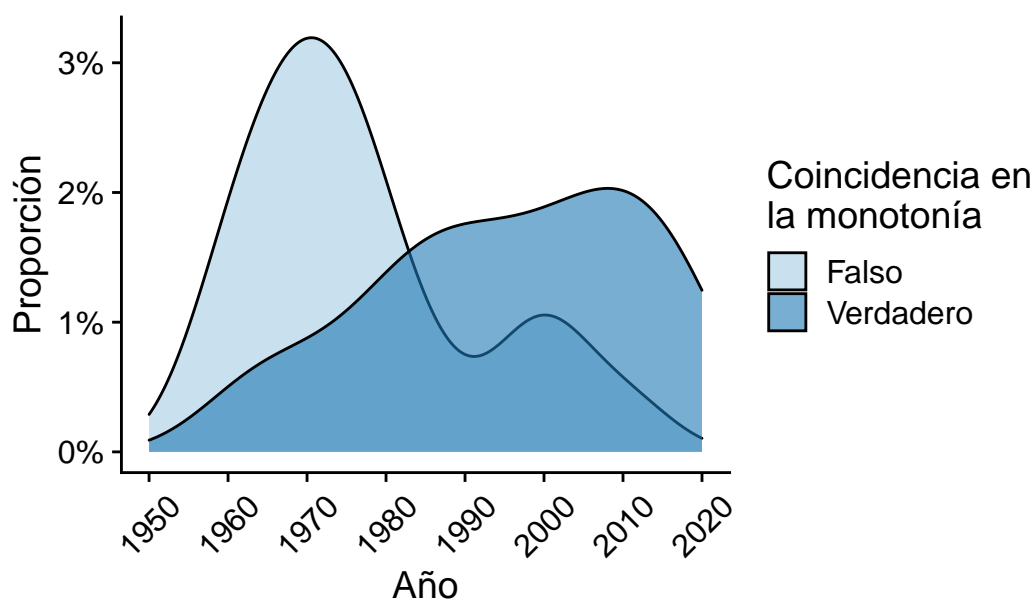
Se realiza el mismo ejercicio con la población total y las defunciones totales, lo que resulta en el histograma en la Figura 3.11 y la distribución de los años en la Figura 3.12.



Fuente: Elaboración propia con datos del INEC

Figura 3.11: Histograma de la coincidencia en la monotonía de la población total y las defunciones totales

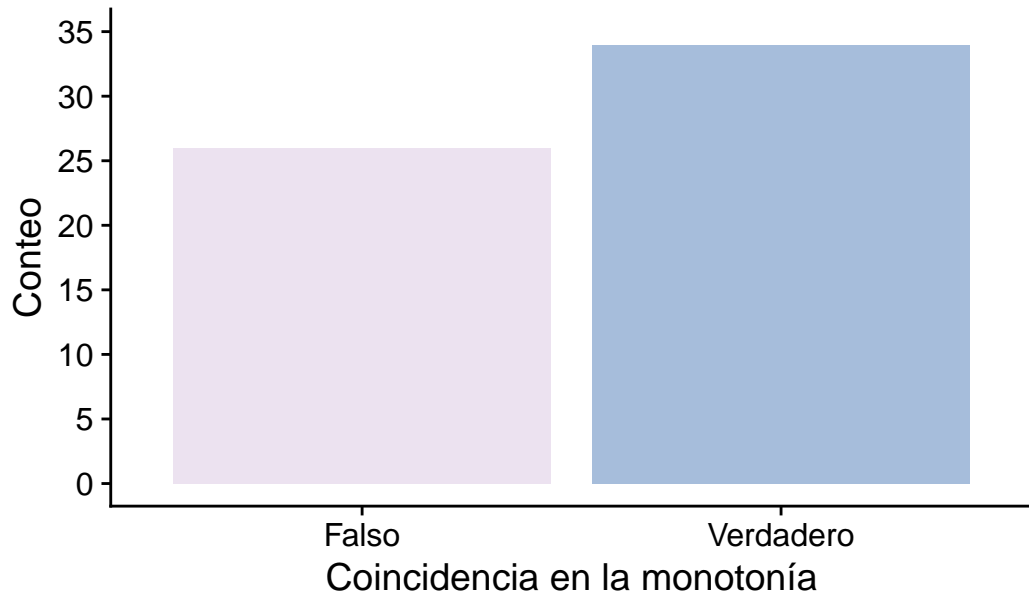
De la primera se ve que fue más común la coincidencia en este caso, y de la segunda que es relativamente marcado que la coincidencia fue falsa de mediados de los años ochenta para atrás, y fue más común que la coincidencia se diera desde cerca de 1980. Nuevamente, se haya evidencia descriptiva de que en la década de los ochenta hay algún tipo de cambio, lo que debe tenerse en cuenta en la sección metodológica, quizás restringiendo el periodo de estudio.



Fuente: Elaboración propia con datos del INEC

Figura 3.12: Distribución de los años según la coincidencia en la monotonía de la población total y la cantidad de defunciones

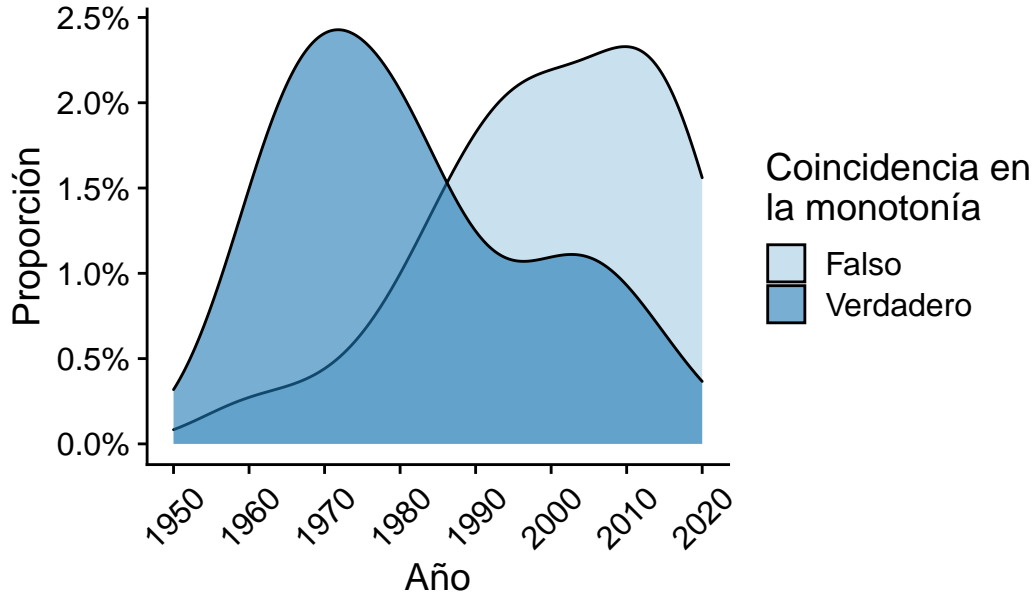
Se vuelve a proceder de la misma manera, esta vez con las defunciones infantiles y las defunciones totales, lo que resulta en el histograma en la Figura 3.13 y la distribución de los años en la Figura 3.14.



Fuente: Elaboración propia con datos del INEC

Figura 3.13: Histograma de la coincidencia en la monotonía de las defunciones infantiles y las defunciones totales

En este caso, los conteos están más parejos pero ocurrió más que sí se diera la coincidencia.



Fuente: Elaboración propia con datos del INEC

Figura 3.14: Distribución de los años según la coincidencia en la monotonía de las defunciones infantiles y la cantidad de defunciones

Además, de las distribuciones se aprecia que la discordancia se dio cerca de 1980 hasta el final, mientras que la coincidencia ocurrió sobre todo en años anteriores a 1990. De nuevo, 1980 parece ser un punto de corte pertinente pues aparenta marcar un cambio en el comportamiento de las defunciones totales.

3.3 Descripción del modelo o metodología

Con la finalidad de realizar un pronóstico de la serie de defunciones totales anuales de Costa Rica, se desea implementar el modelo estadístico que mejor se ajuste a los datos.

Para nuestro estudio en cuestión, se ha optado por realizar una implementación de Modelos de Espacio-Estado. Particularmente, Modelos Dinámicos Lineales (DLM).

Tal como lo establece Petris, Petrone, y Patrizia (2007), estos últimos son una clase de Modelos de Espacio-Estado también llamados Modelos de Espacio-Estado Lineales Gaussianos. Estos modelos son especificados mediante dos ecuaciones, para $t \geq 1$ se tiene:

$$Y_t = F_t \theta_t + v_t,$$

$$\theta_t = G_t \theta_{t-1} + w_t$$

Donde la primer ecuación es llamada ecuación de observación, y la segunda ecuación estado o ecuación del sistema.

Es importante señalar que F_t y G_t son matrices y (v_t) , (w_t) son secuencias de ruidos blancos independientes tales que:

$$\begin{aligned} v_t &\sim \mathcal{N}_m(0, V_t), \\ w_t &\sim \mathcal{N}_p(0, W_t) \end{aligned}$$

Los DLM poseen dos supuestos, la linealidad y el supuesto de distribuciones Gaussianas. Petris, Petrone, y Patrizia (2007) señala que este último supuesto puede ser justificado mediante argumentos del teorema del límite central.

La estimación y pronóstico se pueden resolver calculando las distribuciones condicionales de las cantidades de interés, dada la información disponible. Para estimar el vector de estados es necesario computar la densidad condicional $p(\theta_t|y_1, \dots, y_t)$. En particular, nos interesa el problema de filtrado (cuando $s = t$), donde los datos se supone que llegan secuencialmente en el tiempo.

En general, el problema de pronóstico de k -pasos hacia adelante consiste en estimar la evolución del sistema θ_{t+k} para $k \geq 1$ y realizar un pronóstico de k -pasos para Y_{t+k} .

Según Petris, Petrone, y Patrizia (2007) en los DLM, el filtro de Kalman proporciona las fórmulas para actualizar nuestra inferencia actual sobre el vector de estado conforme se disponga de nuevos datos.

Para un DLM, si se cumple que:

$$\theta_t|\mathcal{D}_t \sim \mathcal{N}(m_t, C_t), t \geq 1$$

Se tiene que:

La densidad de predicción de estado de k -pasos con $k \geq 1$ hacia adelante de θ_{t+k} dada la información pasada D_t , es Gaussiana con media y varianza condicional dadas respectivamente por:

$$\begin{aligned} a_{t+k} &= G_{t+k}m_t \\ R_{t+k} &= G_{t+k}C_{t+k}G'_{t+k} + W_{t+k} \end{aligned}$$

La densidad de predicción de k -pasos con $k \geq 1$ hacia adelante de Y_{t+k} dada la información pasada D_t , es Gaussiana con media y varianza condicional dadas respectivamente por:

$$\begin{aligned} f_{t+k} &= F_{t+k}a_{t+k} \\ Q_{t+k} &= F_{t+k}R_{t+k}F'_{t+k} + V_{t+k} \end{aligned}$$

La densidad de filtrado de θ_{t+k} con $k \geq 1$ dada la información pasada D_{t+k} , es Gaussiana con media y varianza condicional dadas respectivamente por:

$$\begin{aligned} m_{t+k} &= a_{t+k} + R_{t+k}F'_{t+k}Q_{t+k}^{-1}e_{t+k} \\ C_{t+k} &= R_{t+k} - R_{t+k}F'_{t+k}Q_{t+k}^{-1}F_{t+k}R_{t+k} \end{aligned}$$

3.4 Propuesta y justificación modelos DLM

Como se mencionó en Figura 3.2, la cantidad de defunciones totales siguen una cierta tendencia lineal creciente, en particular para años posteriores a 1980.

Debido a que esta es nuestra variable de interés para realizar un pronóstico, es propicio para nuestro estudio en cuestión la implementación de un modelo con supuesto de linealidad, como se mencionó justamente los DLM siguen este supuesto.

Para llevar a cabo los pronósticos se proponen por tanto tres métodos estadísticos pertenecientes a los DLM, estos son: modelo DLM polinomial de primer orden, modelo DLM polinomial de segundo orden y el modelo ARIMA.

Se propone un modelo DLM de primer orden ya que como establece Mary (2006) los DLM de primer orden son algoritmos recomendados al lidiar con datos anuales debido a que las series de tiempo es corta y no presentan patrones estacionales. Dado que nuestros datos son anuales, este modelo se presenta como un posible candidato.

Por su parte Mary (2006), señala que los DLM de segundo orden son útiles para describir tendencias. Dada la tendencia observada de la serie de defunciones totales sugiere por tanto realizar un modelo polinomial de segundo orden.

3.5 Primera implementación

Como una primer implementación se utilizará un modelo ARIMA. Tal como lo menciona Petris, Petrone, y Patrizia (2007) un modelo ARIMA puede ser considerado un DLM, esto ya que es posible representar todo modelo ARIMA (ya sea univariado o multivariado) como un DLM.

La escogencia de este modelo al ser un DLM, sigue la misma línea de justificación antes mencionado sobre la elección de modelos DLM para nuestro estudio, siendo este un caso particular de estos.

Sin embargo, es importante mencionar que la escogencia de este modelo como primera implementación también se basa en su simplicidad, y en que dada la bibliografía consultada, se observa que en múltiples investigaciones con temáticas relacionadas a nuestro estudio como el de Adekanmbi, Ayoola, y Idowu (2014) y el estudio por Ordorica (2004), se implementa este tipo de modelo.

No obstante, según Petris, Petrone, y Patrizia (2007) estos modelos proporcionan un enfoque de caja negra para el análisis de datos, ofreciendo la posibilidad de predecir observaciones futuras, pero con una interpretabilidad muy limitada del modelo ajustado.

Por lo que para bitácoras posteriores se describirán en detalle e implementaran dos modelos de mayor complejidad pero con una mejor interpretabilidad, como lo son los DLM polinomiales de primer y segundo orden, antes mencionados.

En cuanto a la implementación del primer intento utilizando ARIMA, como se quiere hacer una comparación entre los modelos, se usará una base de entrenamiento y una de prueba para hacer el diagnóstico y cuyos valores ya son conocidos para poder valorar la eficacia de dicho modelo. Se quiere hacer el pronóstico a dos años, por lo que la base de entrenamiento serán los datos entre 1950 y 2018, y se pronosticará las defunciones totales para el 2019 y 2020.

```
entrenamiento <- base$defunciones[1:69]
serie <- ts( entrenamiento, start=c(1950,1), frequency=1)
```

Primero, se grafica la serie de tiempo de defunciones totales. Para emplear el modelo se requiere estacionariedad.

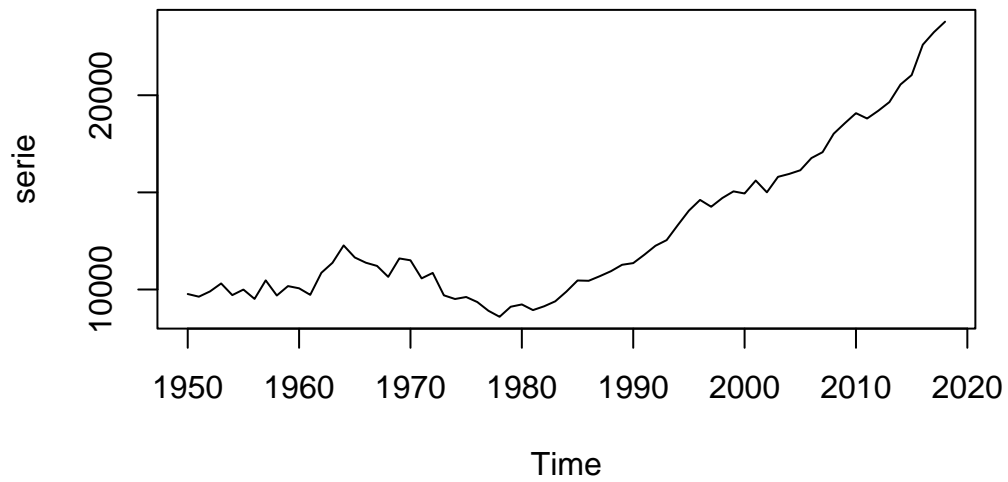


Figura 3.15: Serie de tiempo de defunciones totales

| | [,1] | [,2] | [,3] | [,4] | [,5] | [,6] | [,7] | [,8] | [,9] | [,10] | [,11] | [,12] |
|------|-------|-------|-------|-------|-------|-------|-------|-------|-------|-------|-------|-------|
| ACF | 0.93 | 0.86 | 0.80 | 0.74 | 0.69 | 0.64 | 0.59 | 0.54 | 0.49 | 0.43 | 0.38 | 0.34 |
| PACF | 0.93 | -0.02 | -0.04 | 0.06 | -0.02 | -0.01 | -0.02 | -0.03 | -0.08 | 0.00 | -0.03 | 0.01 |
| | [,13] | [,14] | [,15] | [,16] | [,17] | [,18] | [,19] | | | | | |
| ACF | 0.3 | 0.26 | 0.23 | 0.20 | 0.17 | 0.13 | 0.1 | | | | | |
| PACF | 0.0 | 0.00 | 0.02 | -0.05 | 0.02 | -0.09 | 0.0 | | | | | |

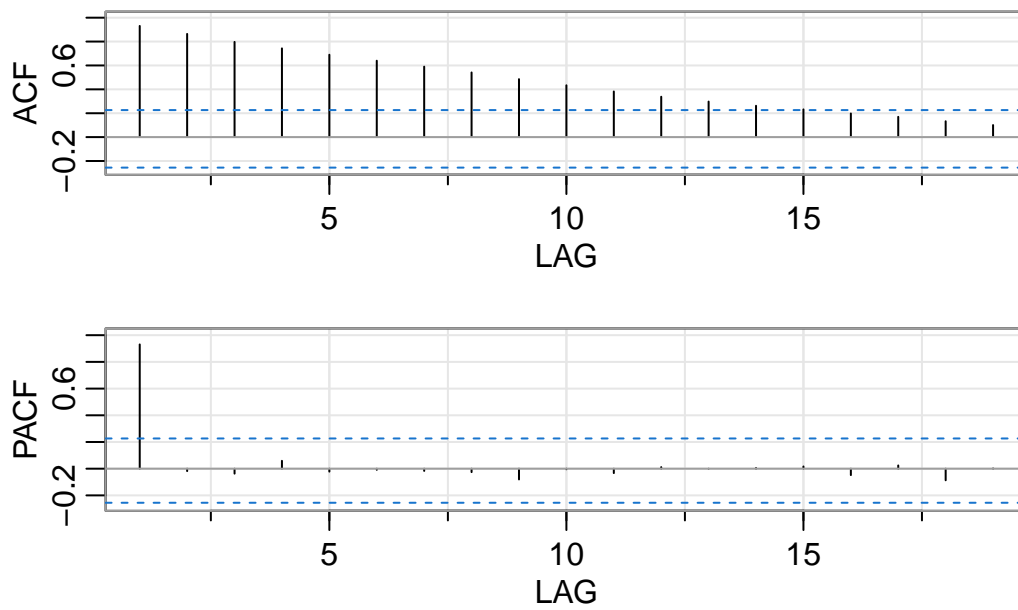


Figura 3.16: ACF y PACF de la serie de defunciones totales

Se observa de la Figura 3.15 no estacionariedad muy clara, además de que en la Figura 3.16 se aprecia que la decadencia de las correlaciones no son suficientemente rápidas. Se lleva a cabo una diferenciación

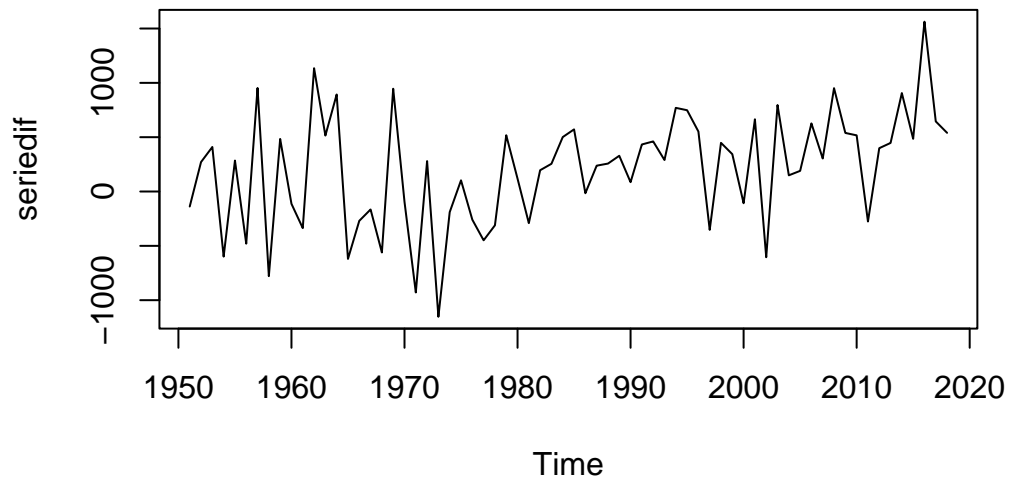


Figura 3.17: Serie de tiempo de defunciones totales con una diferencia

| | [,1] | [,2] | [,3] | [,4] | [,5] | [,6] | [,7] | [,8] | [,9] | [,10] | [,11] | [,12] | [,13] |
|------|-------|-------|-------|-------|-------|-------|------|-------|-------|-------|-------|-------|-------|
| ACF | 0 | 0.29 | 0.11 | 0.00 | 0.28 | 0.02 | 0.26 | -0.01 | 0.03 | 0.18 | -0.05 | 0.07 | 0.08 |
| PACF | 0 | 0.29 | 0.12 | -0.09 | 0.23 | 0.04 | 0.14 | -0.08 | -0.07 | 0.15 | -0.03 | -0.13 | 0.11 |
| | [,14] | [,15] | [,16] | [,17] | [,18] | [,19] | | | | | | | |
| ACF | -0.09 | 0.11 | 0.00 | 0.04 | -0.08 | 0.02 | | | | | | | |
| PACF | -0.10 | 0.02 | 0.08 | -0.03 | -0.14 | 0.10 | | | | | | | |

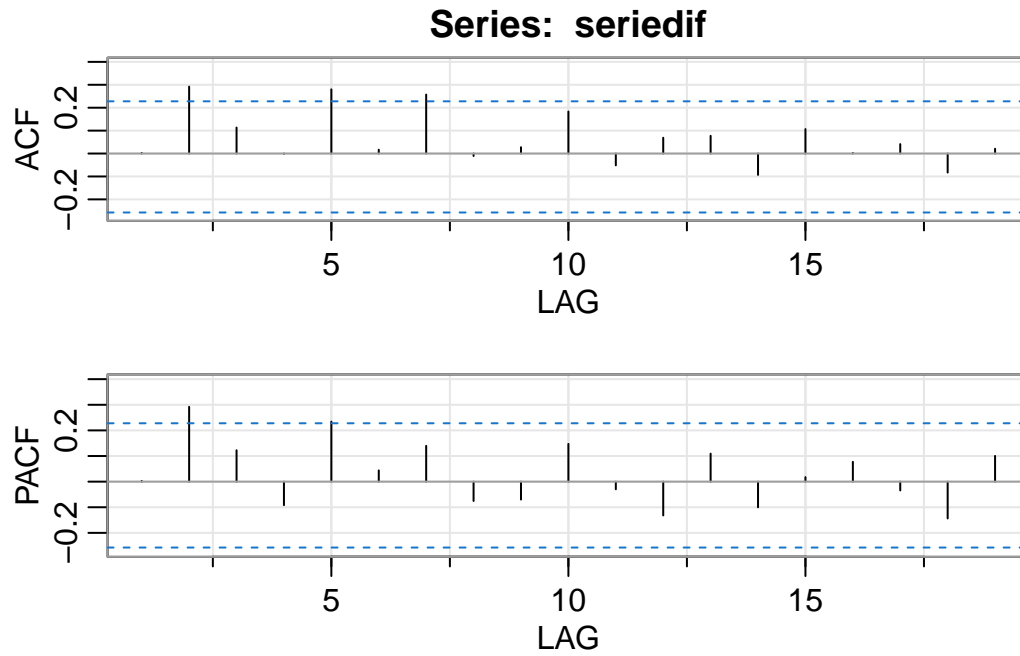


Figura 3.18: ACF y PACF de la serie de defunciones totales con una diferencia

Se observa de la Figura 3.17 que aún hay evidencia de no estacionariedad por lo que se lleva a cabo una segunda diferenciación

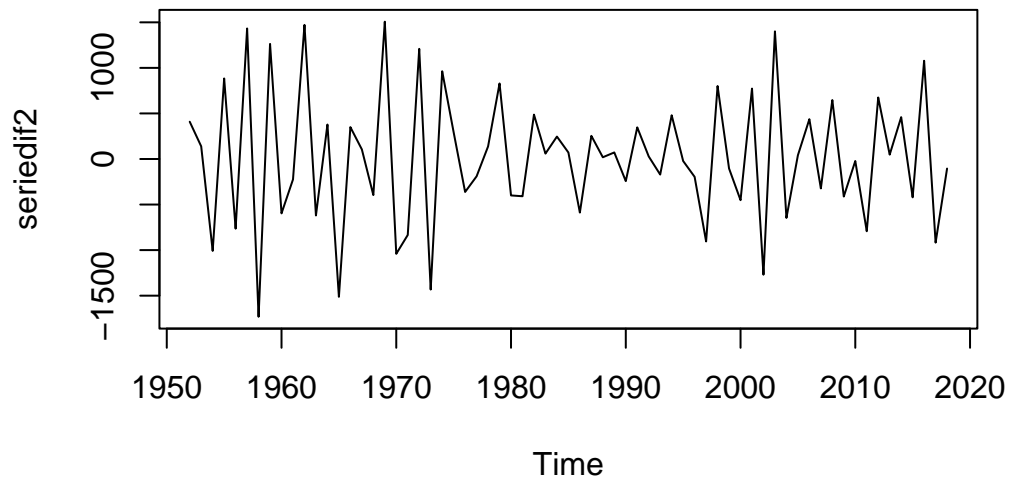


Figura 3.19: Serie de tiempo de defunciones totales con dos diferencias

| | [,1] | [,2] | [,3] | [,4] | [,5] | [,6] | [,7] | [,8] | [,9] | [,10] | [,11] | [,12] |
|------|-------|-------|-------|-------|-------|-------|-------|-------|-------|-------|-------|-------|
| ACF | -0.65 | 0.23 | -0.03 | -0.20 | 0.27 | -0.24 | 0.25 | -0.15 | -0.07 | 0.19 | -0.16 | 0.05 |
| PACF | -0.65 | -0.33 | -0.09 | -0.37 | -0.15 | -0.22 | 0.01 | 0.02 | -0.20 | -0.04 | 0.09 | -0.13 |
| | [,13] | [,14] | [,15] | [,16] | [,17] | [,18] | [,19] | | | | | |
| ACF | 0.10 | -0.20 | 0.15 | -0.06 | 0.07 | -0.09 | 0.01 | | | | | |
| PACF | 0.08 | -0.06 | -0.13 | -0.01 | 0.09 | -0.15 | -0.12 | | | | | |

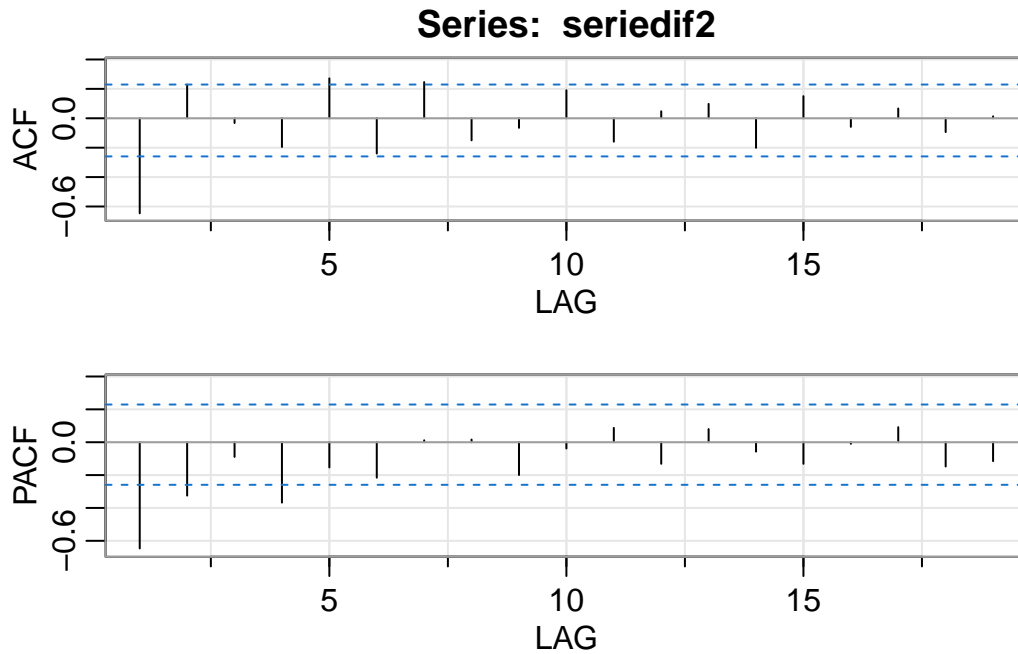


Figura 3.20: ACF y PACF de la serie de defunciones totales con dos diferencias

En la Figura 3.19 se aprecia que con dos diferencias ya se logra estacionariedad. Además, de la Figura 3.20 se nota que tiene una decadencia gradual en las correlaciones y las autocorrelaciones parciales luego del primer rezago por lo que implica un modelo ARMA(1,1). Se lleva a cabo la implementación de este modelo con dos rezagos.

```
modelo <- arima(serie, order=c(1, 2, 1))
```

y se presentan algunos diagnósticos.

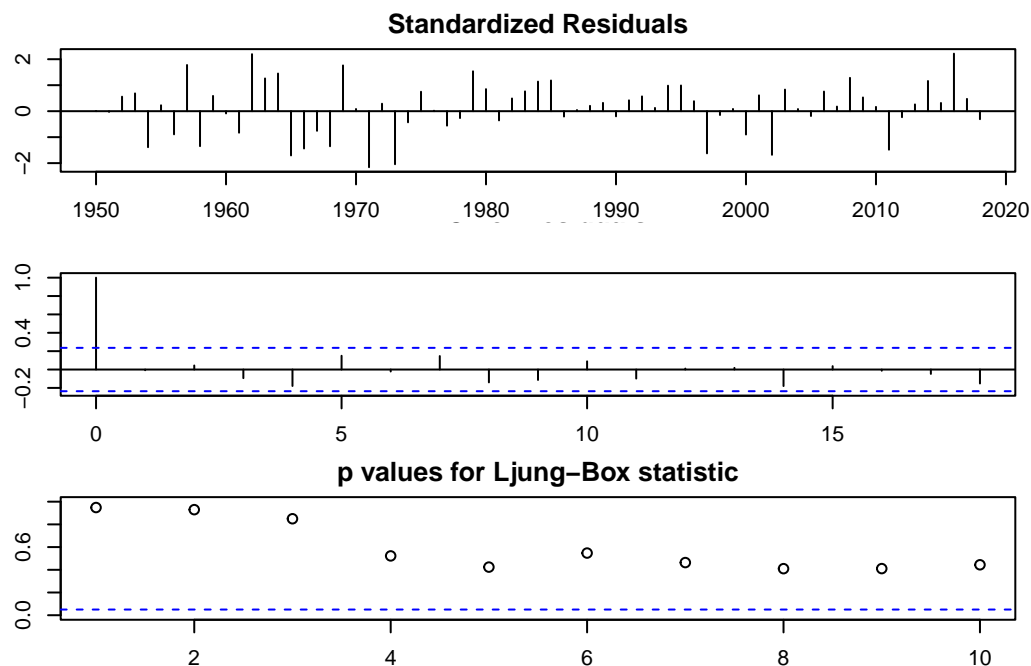


Figura 3.21: Diagnósticos del modelo ARIMA implementado

En la Figura 3.21 se aprecia que los residuos no parecen mostrar ningún patrón significativo y la varianza aparenta ser constante. El gráfico de ACF confirma que no existe correlación en los residuos. En el último gráfico se muestra que bajo la prueba de Ljung-Box existe evidencia de que no hay ninguna estructura remanente en los residuos, lo que apoya la selección de este modelo. También se puede utilizar la función de `auto.arima` la cual ajusta modelos ARMA para diferentes escogencias de p y q y los compara utilizando criterios de AIC y BIC para confirmar la elección de este modelo

```
modelo1 <- auto.arima(serie)
summary(modelo1)
```

```
Series: serie
ARIMA(1,2,1)
```

```
Coefficients:
      ar1      ma1
    -0.2559 -0.8001
s.e.   0.1398  0.1023
```

```
sigma^2 = 252435:  log likelihood = -511.49
AIC=1028.98  AICc=1029.36  BIC=1035.59
```

```
Training set error measures:
```

Tabla 3.1: Pronóstico e intervalos de confianza del modelo ARIMA

| | Point Forecast | Lo 80 | Hi 80 | Lo 95 | Hi 95 |
|------|----------------|----------|----------|----------|----------|
| 2019 | 24474.97 | 23840.77 | 25109.17 | 23505.04 | 25444.90 |
| 2020 | 25125.82 | 24253.67 | 25997.98 | 23791.97 | 26459.67 |

ME RMSE MAE MPE MAPE MASE
Training set 57.29695 487.6486 381.1041 0.355309 3.194274 0.8045412
ACF1
Training set -0.007621673

Finalmente, con este modelo se lleva a cabo el pronóstico a dos años.

Forecasts from ARIMA(1,2,1)

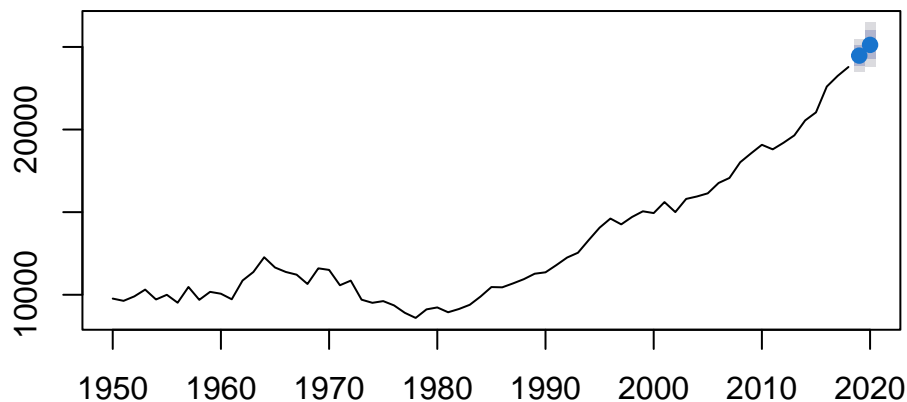


Figura 3.22: Pronóstico a dos años utilizando el modelo ARIMA

La Tabla 3.1 resumen los pronósticos e intervalos de confianza utilizando el modelo ARIMA que se pueden comparar con los valores reales de 24292 para el 2019 y 26209 para el 2020. Es importante recordar que el 2020 fue anómalo por ser el primer año del COVID-19 en Costa Rica lo que ocasionó más muertes. Aún así se aprecia que para ambos años se obtuvieron valores que caen dentro del intervalo de confianza 95%. La diferencia entre el pronóstico y el valor real en valor absoluto es dado por

[1] 182.9708

[1] 1083.177

References

- Adekanmbi, D, F Ayoola, y A Idowu. 2014. «Demographic Time Series Modelling of Total Deaths in Nigeria». *Population Association of Southern Africa* 15 (1): 21-48.
- Brownlee, Jason. 2020. *Introduction to time series forecasting with Python*. eBook.
- «Indicadores demográficos 2019». 2020.
- INEC. 2021. «Estadísticas demográficas. 1950-2020. Principales Indicadores Demográficos». <https://www.inec.go.cr/documento/estadisticas-demograficas-1950-2020-principales-indicadores-demograficos%7D>.
- Macció, Guillermo A, Santiago Centro Latinoamericano de Demografia, et al. 1985. «Diccionario demográfico multilingüe».
- Mary, Kathleen. 2006. «Determining optimal architecture for dynamic linear models in time series applications».
- Ordorica, Manuel. 2004. «Pronóstico de las defunciones por medio de los modelos autorregresivos integrados de promedios móviles». 249–264 10 (42): 21-48.
- Petris, Giovanni, Petrone Sonia, y Campagnoli Patrizia. 2007. *Dynamic Linear Models with R*. Springer.
- Rees, Philip. 2020. «Demography». En *International Encyclopedia of Human Geography (Second Edition)*, editado por Audrey Kobayashi, Second Edition, 239-56. Oxford: Elsevier. <https://doi.org/10.1016/B978-0-08-102295-5.10252-5>.
- Rosero-Bixby, Luis. 2004. «Situación demográfica general de Costa Rica».
- . 2016. «La situación demográfica en Costa Rica». *Población y Salud en Mesoamérica* 13 (2): 237-311.
- Wickham, Hadley, y Garrett Grolemund. 2016. *R for data science: import, tidy, transform, visualize, and model data*. ” O’Reilly Media, Inc.”.
- Wilson, Tom, y Philip Rees. 2021. «A brief guide to producing a national population projection». *Australian Population Studies* 5 (1): 77-100.